

**ТЕОРИЯ КВАЗИОДНОМЕРНЫХ СИСТЕМ,
ИСПЫТЫВАЮЩИХ ПАЙЕРЛСОВСКИЙ ПЕРЕХОД**

M. B. Садовский

Рассматривается модель квазиодномерной системы, испытывающей пайерлсовский структурный переход, основанная на одномерной модели перехода типа Гинзбурга—Ландау. Для строго одномерной системы, когда истинный переход отсутствует, получена плотность электронных состояний с псевдоцелью, возникающей из-за флуктуаций ближнего порядка, соответствующего пайерлсовскому искажению решетки. Показано, что диэлектрические свойства системы оказываются промежуточными между металлами и диэлектриками. Рассматривается также роль флуктуаций ниже температуры истинного перехода, стабилизирующегося в трехмерной системе. Показано, что они приводят к образованию псевдоцели в плотности состояний, поэтому измерения электронных характеристик системы не дают возможности определить точку истинного перехода.

В последнее время уделялось большое внимание экспериментальному исследованию квазиодномерных систем с проводимостью металлического типа [1, 2]. Изучение кристаллов на основе TCNQ и платиновых комплексов (типа $K_2Pt(CN)_4Br_{0.33}H_2O$) оживило интерес к хорошо известным соображениям Пайерлса в неустойчивости одномерного металла относительно изменения периода решетки [3]. Согласно рентгеноструктурным [4, 5] и нейтронографическим данным [6], в соединении $K_2Pt(CN)_4Br_{0.33}H_2O$ действительно происходит пайерлсовский переход так, что при температурах $T \leq 80^\circ K$ происходит увеличение в 6 раз начального периода решетки, тогда как при более высоких температурах имеет место сильное смягчение частоты фононов с квазимпульсом $\approx 2p_0$ (p_0 — импульс Ферми электронов). Весьма вероятно, что пайерлсовский переход наблюдается также в соединении TTF-TCNQ [7], хотя прямые доказательства удвоения периода в этой системе пока еще отсутствуют.

В настоящей работе мы предлагаем модельное описание систем такого типа в условиях, когда длина корреляции флуктуаций параметра порядка, соответствующего деформации решетки с новым периодом, значительно превышает межатомное расстояние. Мы рассматриваем одноэлектронный спектр и плотность состояний системы. Затем исследуется диэлектрическая проницаемость, соответствующая реакции на электрическое поле, ориентированное вдоль металлических цепочек, а также проводимость вдоль цепочек на достаточно высоких частотах. Как будет показано, свойства рассматриваемой системы оказываются промежуточными между типично металлическими и полупроводниковыми, что указывает на специфику квазиодномерных систем, где флуктуации параметра порядка вблизи точки фазового перехода второго рода крайне существенны.

Мы исходим из гамильтонiana

$$H = \sum_p \xi_p a_p^+ a_p + \sum_q \omega_q b_q^+ b_q + \frac{1}{\sqrt{N}} \sum_{pq} g_q a_{p+q}^+ a_p (b_q + b_{-q}^+), \quad (1)$$

где ξ_p — энергия свободных электронов, отсчитанная от уровня Ферми; ω_q — фононный спектр, g_q определяет электрон-фононное взаимодействие, a_p и b_q — электронные и фононные операторы уничтожения. Теория пайерл-

совского перехода в приближении самосогласованного поля в строго одномерной системе хорошо известна [8–10]; вместе с тем известно также, что флуктуации самосогласованного поля в одномерной системе весьма существенны и в строго одномерной системе делают фазовый переход вообще невозможным [11]. Учет трехмерности реальной системы может способствовать стабилизации истинного перехода (подавление флуктуаций). Мы в основном рассматриваем модель пайерлсовского перехода, предложенную в работе Ли, Райса и Андерсона [12] и основанную на одномерной модели Гинзбурга—Ландау, детально исследованной ранее в работе [13]. Хотя истинный переход в этой модели отсутствует, при некоторой температуре $T_p \approx 1/4T_c$ (T_c — температура перехода в приближении самосогласованного поля) становится макроскопическим радиус корреляций ближнего порядка. Нас будет интересовать область температур $T \sim T_p$, когда этот радиус достаточно велик. Если при некоторой температуре стабилизируется истинный (трехмерный) переход, т. е. возникает дальний порядок, рассмотрение следует изменить. Однако флуктуации существенны также и в окрестности истинного перехода. Соответствующие расчеты проведены в Приложении.

Вместо теории Гинзбурга—Ландау можно рассмотреть взаимодействие с мягкой фононной модой вблизи точки перехода [14], однако при этом приходится использовать конкретные модели мягкой моды, область применимости которых неясна. Для рассматриваемой задачи свободная энергия Ландау имеет вид [12]

$$F(\psi_Q) = a(T, 2p_0) |\psi_Q|^2 + b(T, 2p_0) |\psi_Q|^4 + c(T, 2p_0) (Q - 2p_0)^2 |\psi_Q|^2, \quad (2)$$

где параметр порядка $\psi_Q = g_Q < b_Q + b_{-Q}^+ >$ пропорционален пайерлсовской деформации решетки. Коэффициенты разложения есть

$$\left. \begin{aligned} a &= N_0 \frac{T - T_c}{T_c}, \quad T_c = \frac{2\gamma}{\pi} E_F \exp \left\{ - \frac{\omega_{2p_0}}{g^2 N_0} \right\}, \\ b &= N_0 \left\{ b_0 + (b_1 - b_0) \frac{T}{T_c} \right\} \frac{1}{T_c^2}; \quad c = N_0 \xi_0^2(T); \\ \xi_0^2(T) &= \frac{7\zeta(3) v_F^2}{16\pi^2 T^2}; \quad b_0 = \frac{1}{2} \frac{\gamma^2}{\pi^2}; \quad b_1 = \frac{7\zeta(3)}{16\pi^2}, \end{aligned} \right\} \quad (3)$$

$\ln \gamma = C$ — постоянная Эйлера, N_0 — плотность состояний свободных электронов на уровне Ферми, E_F — энергия Ферми, v_F — скорость Ферми. Учет структуры электронной зоны в приближении сильной связи несущественно меняет константы в (3) [15]. Электрон в рассматриваемой модели рассеивается в статическом поле случайных флуктуаций параметра порядка ψ_Q . Простейшая собственно-энергетическая часть одноэлектронной функции Грина имеет вид [12, 16] ($\varepsilon_n = (2n+1)\pi T$)

$$\Sigma(\varepsilon_n, p) = \langle \psi^2 \rangle \int \frac{dQ}{2\pi} S(Q) \frac{1}{i\varepsilon_n - \xi_{p+Q}}, \quad (4)$$

где $S(Q)$ — статический структурный фактор флуктуаций параметра порядка, пропорциональный Фурье-образу двухточечной корреляционной функции параметра порядка. Для рассматриваемой модели [12, 13]

$$\frac{1}{2} S(Q) = \frac{\xi^{-1}(T)}{(Q - 2p_0)^2 + \xi^{-2}(T)} + \frac{\xi^{-1}(T)}{(Q + 2p_0)^2 + \xi^{-2}(T)}, \quad (5)$$

где $\xi(T)$ — корреляционная длина флуктуаций параметра порядка (радиус корреляций ближнего порядка). При $T \approx 1/4T_c$ длина $\xi(T)$ экспоненциально возрастает с понижением температуры [14]. Тогда, рассматривая электрон с $p \sim +p_0$, имеем

$$\Sigma(\varepsilon_n, p) = \langle \psi^2 \rangle [i\varepsilon_n + \xi_p + i v_F \xi^{-1}(T)]^{-1} \approx \Delta^2 (i\varepsilon_n + \xi_p)^{-1}, \quad (6)$$

$$\Delta^2 = \langle \psi^2 \rangle, \quad (7)$$

и мы учли, что для одномерной системы $\xi_{p-2p_0} = -\xi_p$.

Приближенное равенство в (6) имеет место (поправки на конечную ширину пика $S(Q)$ малы), если выполнены условия [17]

$$\left. \begin{array}{l} \xi(T) \gg |p - p_0|^{-1}, \\ v_F \xi^{-1}(T) \ll 2\pi T. \end{array} \right\} \quad (8)$$

Первое из условий (8) накладывает ограничение на наше рассмотрение в непосредственной окрестности уровня Ферми. При $T \sim 1/4 T_c$, когда $\xi(T)$ велика, соответствующая область энергий крайне мала и не представляет большого интереса. По данным [5], $\xi/a (T=300^\circ \text{K}) > 10^2$, где a — расстояние Pt-Pt в соединении $\text{K}_2\text{Pt}(\text{CN})_4\text{Br}_{0.33}\text{H}_2\text{O}$. Хотя оценки работы [12] менее благоприятны, представляется несомненным, что вблизи «перехода» $\xi(T)$ очень велика и может достигать сотен межатомных расстояний.

Используя приближение (6) в диаграммах высших порядков, мы можем просуммировать все¹ существенные графики теории возмущений методом, предложенным в работе [17]. В работе [13] рассматривался только вклад простейшей диаграммы (6), тогда как высшие приближения весьма существенны. Выполняя суммирование, получаем [17] одноэлектронную функцию Грина в виде

$$G(\varepsilon_n, p) = \int_0^\infty d\xi e^{-\xi} \frac{i\varepsilon_n + \xi_p}{(i\varepsilon_n)^2 - \xi_p^2 - \xi \Delta^2} \equiv \langle G_{\xi \Delta^2}(\varepsilon_n, p, p) \rangle_\xi, \quad (9)$$

где

$$G_{\Delta^2}(\varepsilon_n, p, p) = \frac{i\varepsilon_n + \xi_p}{(i\varepsilon_n)^2 + \xi_p^2 - \Delta^2} \quad (10)$$

есть нормальная функция Грина идеального пайерлсовского изолятора с энергетической щелью $2|\Delta|$. Легко убедиться, что (9) представляет собой функцию Грина электрона во внешнем поле вида $W \cos 2p_0 x$, амплитуда которого «флуктуирует» с распределением $P(W) = |W|/\Delta^2 e^{-\frac{|W|^2}{\Delta^2}}$. Интеграл в (9) означает усреднение по этим флуктуациям.

После обычного аналитического продолжения к действительным частотам находим плотность электронных состояний

$$\frac{N(\varepsilon)}{N_0} = \left| \frac{\varepsilon}{\Delta} \right| \int_0^{\varepsilon/\Delta^2} d\xi \frac{e^{-\xi}}{\sqrt{\frac{\varepsilon^2}{\Delta^2} - \xi}} = 2 \left| \frac{\varepsilon}{\Delta} \right| e^{-\frac{\varepsilon^2}{\Delta^2}} \operatorname{Erfi} \left(\frac{\varepsilon}{|\Delta|} \right), \quad (11)$$

где $\operatorname{Erfi} x = \int_0^x dx e^{x^2}$. Графически плотность состояний представлена

на рис. 1. Мы получили плотность состояний с типичной псевдощелью с шириной порядка $|\Delta| \sim \langle \psi^2 \rangle^{1/2}$. Температурная зависимость $\langle \psi^2 \rangle$ рассчитана в [13]. Асимптотически

$$\frac{N(\varepsilon)}{N_0} \rightarrow 1 \text{ при } |\varepsilon| \rightarrow \infty; \quad \frac{N(\varepsilon)}{N_0} \approx 2 \frac{\varepsilon^2}{\Delta^2} \rightarrow 0 \text{ при } |\varepsilon| \rightarrow 0.$$

Обращение плотности состояний в нуль посередине псевдощели нефизично, так как наше рассмотрение теряет смысл в непосредственной окрестности уровня Ферми ввиду ограничения (8). Таким образом, суммирование всех существенных диаграмм приводит, в отличие от работы [13], к существованию псевдощели не только при $T \geqslant 1/4 T_c$, но и при

¹ Мы считаем, что все высшие корреляторы параметра порядка факторизуются через парные, что соответствует учету только гауссовых флуктуаций.

$T < 1/4T_c$. Истинная щель не возникает даже при низких температурах в «диэлектрической» фазе.² Как показано ниже, в Приложении, этот результат сохраняется даже в случае истинного фазового перехода (при $T \leq T_c$), поэтому измерения электронных характеристик системы, строго говоря, не дают возможности определить точку перехода.

Перейдем к рассмотрению реакции системы на продольное электрическое поле, направленное вдоль металлических цепочек. Вариация скалярного потенциала $\delta\varphi_{q\omega}$ (q — волновой вектор, направленный вдоль цепочки, ω — частота внешнего поля) вызывает вариацию одноэлектронной функции Грина

$$\frac{\delta G(\varepsilon, p)}{\delta\varphi_{q\omega}} = G(\varepsilon, p)\Gamma(\varepsilon, p, \varepsilon + \omega, p + q)G(\varepsilon + \omega, p + q), \quad (12)$$

где $\Gamma(\varepsilon, p, \varepsilon + \omega, p + q)$ — соответствующая вершинная часть. В рассматриваемой модели вариационная производная (12) вычисляется непосредственно [17]. При этом получаем

$$\begin{aligned} \frac{\delta G(\varepsilon, p)}{\delta\varphi_{q\omega}} = & -e \langle G_{\zeta\Delta^2}(\varepsilon, p, p) G_{\zeta\Delta^2}(\varepsilon + \omega, p + q, p + q) \rangle_\zeta - \\ & - e \langle G_{\zeta\Delta^2}(\varepsilon, p, p - 2p_0) G_{\zeta\Delta^2}(\varepsilon + \omega, p - 2p_0 + q, p + q) \rangle_\zeta, \end{aligned} \quad (13)$$

где e — заряд электрона, $G_{\Delta^2}(\varepsilon, p, p)$ определена в (10), тогда как

$$G_{\Delta^2}(i\varepsilon_n, p, p - 2p_0) = \frac{\Delta}{(i\varepsilon_n)^2 - \xi_p^2 - \Delta^2} \quad (14)$$

представляет собой аномальную функцию Грина пайерлсовского диэлектрика, описывающую процесс переброса $p \rightarrow p - 2p_0$. Таким образом, в теории возникают средние от парных произведений аномальных функций Грина, тогда как сами аномальные функции отсутствуют в соответствии с отсутствием дальнего порядка в системе.

Поляризационный оператор имеет вид ($\omega_m = 2\pi mT$)

$$\begin{aligned} \Pi(q\omega_m) = & - \int_0^\infty d\xi e^{-\xi} 2T \sum_n N_0 \int_{-\infty}^\infty d\xi_p \{ G_{\zeta\Delta^2}(\varepsilon_m, p, p) G_{\zeta\Delta^2}(\varepsilon_n + \omega_m, p + q, p + q) + \\ & + G_{\zeta\Delta^2}(\varepsilon_n, p, p - 2p_0) G_{\zeta\Delta^2}(\varepsilon_n + \omega_m, p + q, p - 2p_0 + q) \} \equiv \langle \Pi_{\zeta\Delta^2}(q, \omega_m) \rangle_\zeta, \end{aligned} \quad (15)$$

где $\Pi_{\Delta^2}(q, \omega_m)$ — поляризационный оператор пайерлсовского диэлектрика, ρ — плотность металлических нитей в сечении образца (мы интересуемся откликом единицы объема системы). Дальнейшее рассмотрение аналогично [17]. Диэлектрическая проницаемость вдоль металлических цепочек есть

$$\varepsilon(q, \omega) = 1 + \frac{4\pi e^2}{q^2} \Pi(q\omega) = \langle \varepsilon_{\zeta\Delta^2}(q\omega) \rangle_\zeta, \quad (16)$$

где

$$\varepsilon_{\Delta^2}(q\omega) = 1 + \frac{4\pi e^2}{q^2} \Pi_{\Delta^2}(q, \omega) \quad (17)$$

— диэлектрическая проницаемость пайерлсовского диэлектрика.

Рассмотрим сначала случай $\omega = 0$. Тогда для рассматриваемой модели получаем [17]

$$\varepsilon(q, 0) \approx 1 - \frac{v_F^2 \omega^2}{6\Delta^2} \exp \left(\frac{v_F^2 q^2}{6\Delta^2} \right) \text{Ei} \left(-\frac{v_F^2 q^2}{6\Delta^2} \right), \quad (18)$$

² Учет негауссовых флуктуаций вряд ли может качественно изменить этот результат. Щель может появиться только при наличии истинного дальнего порядка.

где $x^2 = 8\pi e^2 N_0$ — квадрат обратного радиуса дебаевской экранировки, $Ei(-x)$ — интегральная показательная функция. Отсюда для $v_F q \gg |\Delta|$ получаем $\varepsilon(q, 0) \approx 1 + (x^2/q^2)$. Для $v_F q \ll |\Delta|$

$$\varepsilon(q, 0) \approx 1 - \frac{v_F^2 x^2}{6\Delta^2} \ln \gamma \frac{v_F^2 q^2}{6\Delta^2}. \quad (19)$$

Такое поведение $\varepsilon(q, 0)$ является промежуточным между типично металлическим и диэлектрическим.

Перейдем к рассмотрению случая $\omega \neq 0$; $v_F q \ll |\Delta|$. Получим [17]

$$\operatorname{Re} \varepsilon(\omega) \approx 1 - \frac{\omega_p^2}{6\Delta^2} Ei\left(-\frac{\omega^2}{4\Delta^2}\right) - \frac{\omega_p^2}{\omega^2} \left\{ 1 - e^{-\frac{\omega^2}{4\Delta^2}} \right\}, \quad (20)$$

где $\omega_p^2 = v_F^2 x^2$ — квадрат плазменной частоты.

При $\omega \gg 2|\Delta|$ $\operatorname{Re} \varepsilon(\omega) \approx 1 - (\omega_p^2/\omega^2)$. При $\omega \ll 2|\Delta|$

$$\operatorname{Re} \varepsilon(\omega) \approx 1 - \frac{\omega_p^2}{6\Delta^2} \ln \gamma \frac{\omega^2}{4\Delta^2}. \quad (21)$$

Поведение мнимой части диэлектрической проницаемости представляет особый интерес, так как она определяет поглощение электромагнитной энергии в системе. Действительная часть проводимости есть

$$\operatorname{Re} \sigma(\omega) = \frac{\omega}{4\pi} \operatorname{Im} \varepsilon(\omega). \quad (22)$$

Аналогично [17] имеем

$$\begin{aligned} \operatorname{Im} \varepsilon(\omega) &= \frac{\pi}{2} \frac{\omega^2}{\omega_p^3} \frac{|\Delta|}{\omega^3} \int_0^{\frac{\omega^2}{4\Delta^2}} d\zeta e^{-\zeta} \frac{\zeta}{\sqrt{\frac{\omega^2}{4\Delta^2} - \zeta}} = \\ &= \pi \omega_p^2 \frac{|\Delta|}{\omega^3} e^{-\frac{\omega^2}{4\Delta^2}} \left\{ \frac{\omega^2}{4\Delta^2} - \frac{d}{dx} \right\} \operatorname{Erfi}\left(\sqrt{x} \frac{\omega}{2|\Delta|}\right) \Big|_{x=1}. \end{aligned} \quad (23)$$

Асимптотически получим

$$\left. \begin{aligned} \operatorname{Im} \varepsilon(\omega) &\approx \pi \left(\frac{\omega_p}{\omega} \right)^2 \left(\frac{\Delta}{\omega} \right)^2, \\ \operatorname{Re} \sigma(\omega) &\approx \frac{1}{4} \left(\frac{\Delta}{\omega} \right)^2 \frac{\omega_p^2}{\omega} \end{aligned} \right\} \quad (24)$$

при $\omega \gg 2|\Delta|$. Для $\omega \ll 2|\Delta|$

$$\left. \begin{aligned} \operatorname{Im} \varepsilon(\omega) &\approx \frac{\pi}{12} \frac{\omega_p^2}{\Delta^2}, \\ \operatorname{Re} \sigma(\omega) &\approx \frac{1}{48} \left(\frac{\omega_p}{\Delta} \right)^2 \omega \rightarrow 0 \quad \text{при } \omega \rightarrow 0. \end{aligned} \right\} \quad (25)$$

Таким образом, статическая проводимость в нашем приближении обращается в нуль. Аналогичным образом равна нулю и статическая проводимость пайерлсовского диэлектрика при температуре, равной нулю. Выражение (23) описывает своего рода межзонное поглощение (рис. 2). Максимум поглощения имеет место при $\omega \sim 2|\Delta|$. Вместе с тем видно, что наша модель описывает вещество, промежуточное между металлом и диэлектриком: в металле $\operatorname{Im} \varepsilon(\omega) \sim 1/\omega$ при $\omega \rightarrow 0$, а в диэлектрике $\operatorname{Im} \varepsilon(\omega) = 0$ при $\omega = 0$. В нашем случае $\operatorname{Im} \varepsilon(\omega)$ при $\omega = 0$ имеет конечный разрыв

$$(\operatorname{Im} \varepsilon(\omega) = -\operatorname{Im} \varepsilon(-\omega)).$$

Отметим, что полученные выше формулы, строго говоря, неприменимы в области малых частот ввиду того, что все рассмотрение несправедливо вблизи уровня Ферми в смысле первого из условий (8). Проведенное вычисление поляризационного оператора справедливо лишь для

$$\omega \gg v_F \xi^{-1} (T). \quad (26)$$

Это условие имеет ясный смысл — за характерное время изменения внешнего поля электрон перемещается на расстояние, меньшее $\xi(T)$.

Итак, пайерлсовская система, по-видимому, представляет собой вещество, промежуточное по свойствам между металлом и диэлектриком. Поиски пика поглощения на частотах, соответствующих ширине псевдоцели, представляют большой экспериментальный интерес. Возможность аномального поведения $\epsilon(\omega)$ (21), (25) при $\omega \leq 2|\Delta|$ подчеркивает значение экспериментов в радиочастотном диапазоне. В настоящее время надежные экспериментальные данные неизвестны.

В заключение автор выражает благодарность Л. В. Келдышу, Л. Н. Булаевскому и Д. И. Хомскому за многочисленные обсуждения и замечания.

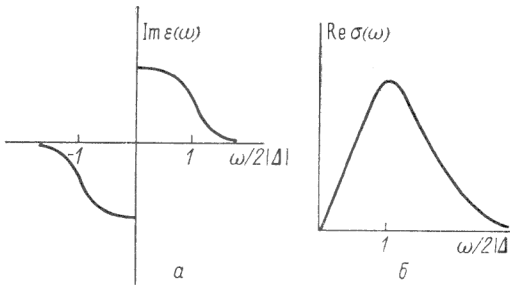


Рис. 2. Качественное поведение мнимой части диэлектрической проницаемости (а) и действительной части проводимости (б) как функции частоты внешнего поля.

ПРИЛОЖЕНИЯ

В строго одномерной системе фазовый переход невозможен ввиду разрушающего влияния флуктуаций [11]. В частности, приближение самосогласованного поля не имеет области применимости ввиду большой ширины критической области $\Delta T/T_c \sim 1$ [13]. Однако ввиду трехмерности реальных систем флуктуации могут быть по какой-либо причине подавлены (например, амплитуда флуктуаций может быть ограничена дальнодействующим кулоновским взаимодействием электронов соседних цепочек). Тогда в системе возможен истинный фазовый переход при $T = T_c$. Именно этот случай, по-видимому, реализуется в $K_2Pt(CN)_4Br_{0.33}3H_2O$ [4], где истинный (трехмерный) переход стабилизируется при $T_c \leq 80^\circ K$. Тогда при $T < T_c$ возникает дальний порядок и систему с неплохой точностью можно описывать в приближении самосогласованного поля. Однако флуктуации параметра порядка хотя и подавлены, все же могут оказаться существенными даже при $T < T_c$. В этом случае [13]

$$\psi_\varrho = \Delta + \delta\psi_\varrho, \quad (\text{II}, 1)$$

где

$$\Delta = \left(-\frac{a}{2b} \right)^{1/2} = \begin{cases} \sqrt{\frac{\varepsilon \pi^2 T_c}{T_c(3)}} \sqrt{T_c - T} & \text{при } T \leq T_c, \\ \frac{\pi}{\gamma} T_c & \text{при } T = 0 \end{cases} \quad (\text{II}, 2)$$

— равновесное значение параметра порядка, $\delta\psi_\varrho$ — его флуктуации. Δ играет роль когерентного поля, передающего импульс $2p_0$ и приводящего к брэгговскому рассеянию электронов на границах новой зоны Бриллюэна; $\delta\psi_\varrho$ — случайное поле. В диаграммной технике возникают два типа линий взаимодействия: линии когерентного поля Δ , передающие импульс $2p_0$, и линии случайного поля, которым сопоставляется коррелятор $\langle \delta\psi_\varrho \delta\psi_{-\varrho} \rangle = \langle \delta\psi^2 \rangle S(Q)$. При этом $S(Q)$ снова имеет вид (5) [13]. Формулы приближения самосогласованного поля для $\langle \delta\psi^2 \rangle$ и $\xi(T)$ работы [13] теперь, вообще говоря, неприменимы (ввиду трехмер-

ного характера критических флюктуаций), так что $\langle \delta\psi^2 \rangle$ и $\xi(T)$ рассматриваются далее как параметры теории. Вблизи точки перехода ($T \leq T_c$) $\xi(T)$ растет так, что мы снова можем использовать приближение типа (6)–(8). Тогда и линии случайного поля передают импульс $2p_0$. В разложении одноэлектронной функции Грина доминирует последовательность чередующихся гриновских функций $\{i\varepsilon_l - \xi_p\}^{-1}$ и $\{i\varepsilon_l + \xi_p\}^{-1}$. В n -м порядке теории возмущений имеется $2n$ вершин, из которых $2k$ вершин соединено линиями случайного поля флюктуаций, которым сопоставляются множители $\delta\Delta^2 = \langle \delta\psi^2 \rangle$, тогда как в $2(n-k)$ вершин вставлены одиночные линии когерентного рассеяния, каждой из которых сопоставляется множитель Δ . Тогда разложение функции Грина имеет вид

$$G(\varepsilon_l, \xi_p) = \sum_{n=0}^{\infty} \sum_{k=0}^n B_n^k(\varepsilon_l, \xi_p), \quad (\text{II}, 3)$$

где

$$B_n^k = |\Delta|^{2(n-k)} \left[\frac{n!}{k!(n-k)!} \right]^2 |\delta\Delta|^{2k} k! \{i\varepsilon_l - \xi_p\}^{-n} \{i\varepsilon_l + \xi_p\}^{-n} \{i\varepsilon_l - \xi_p\}^{-1}. \quad (\text{II}, 4)$$

В самом деле на электронной линии имеется $2k$ вершин, к которым прикреплены линии случайного поля, из них k вершин имеют выходящую линию, которая любым из $k!$ способов входит в оставшиеся k вершин; $[n!/k!(n-k)!]^2$ — есть число размещений одиночных линий когерентного поля в любых $2(n-k)$ вершинах, выбираемых из общего числа $2n$ вершин, с учетом того, что в половине из этих вершин импульс $2p_0$ «входит», тогда как в другой половине «выходит». Используем тождество $(1+x)^n(1+y)^n = \sum_{k_1 k_2=0}^n x^{k_1} y^{k_2} C_n^{k_1} C_n^{k_2}$, где положим

$$x = \zeta \frac{\delta\Delta}{\Delta} = |\zeta| e^{i\varphi} \frac{\delta\Delta}{\Delta}; \quad y = x^*,$$

$$\int_0^{2\pi} \frac{d\varphi}{2\pi} \left(1 + \zeta \frac{\delta\Delta}{\Delta}\right)^n \left(1 + \zeta^* \frac{\delta\Delta}{\Delta}\right)^n = \sum_{k=0}^n [C_n^k]^2 |\zeta|^2 k! \left(\frac{\delta\Delta}{\Delta}\right)^{2k}.$$

Учитывая $\int_0^\infty d|\zeta|^2 |\zeta|^{2k} e^{-|\zeta|^2} = k!$, получаем

$$\begin{aligned} G(\varepsilon_l, \xi_p) &= \int_0^\infty d|\zeta|^2 e^{-|\zeta|^2} \int_0^{2\pi} \frac{d\varphi}{2\pi} \frac{i\varepsilon_l + \xi_p}{(i\varepsilon_l)^2 - \xi_p^2 - \Delta^2 \left[1 + |\zeta|^2 \left(\frac{\delta\Delta}{\Delta}\right)^2 + 2|\zeta| \frac{\delta\Delta}{\Delta} \cos \varphi\right]} \\ &= \frac{1}{\pi} \int d^2\zeta e^{-|\zeta|^2} \frac{i\varepsilon_l + \xi_p}{(i\varepsilon_l)^2 - \xi_p^2 - \Delta^2 \left[1 + \zeta \frac{\delta\Delta}{\Delta}\right]^2}, \end{aligned} \quad (\text{II}, 5)$$

где

$$\int d^2\zeta \dots \equiv \int d\operatorname{Re}\zeta d\operatorname{Im}\zeta \dots = \int_0^\infty d|\zeta| |\zeta| \int_0^{2\pi} d\varphi \dots$$

Мы получили нормальную функцию Грина со целью, «флюктуирующей» вблизи Δ , задаваемой формулами (II, 2). Выражение для аномальной функции Грина очевидно. При $\Delta \rightarrow 0$ (II, 5) переходит в (9), а при $\delta\Delta \rightarrow 0$ получаем (10), т. е. идеальный пайерловский диэлектрик; при $T \geq T_c$ поэтому справедливо рассмотрение, проведенное выше. Очевидно, что и при $T \leq T_c$ флюктуации $\delta\Delta$ крайне существенны. Для плотности состояний имеем

$$\frac{N(\varepsilon)}{N_0} = \frac{|\varepsilon|}{\pi} \int d^2\zeta e^{-|\zeta|^2} \frac{\Theta\left[\varepsilon^2 - \Delta^2 \left|1 + \zeta \frac{\delta\Delta}{\Delta}\right|^2\right]}{\sqrt{\varepsilon^2 - \Delta^2 \left|1 + \zeta \frac{\delta\Delta}{\Delta}\right|^2}}. \quad (\text{II}, 6)$$

Опуская громоздкие детали, укажем только, что при $\delta\Delta \rightarrow 0$ (т. е. $T \rightarrow 0$)

$$\frac{N(\varepsilon)}{N_0} \rightarrow \begin{cases} \frac{|\varepsilon|}{\sqrt{\varepsilon^2 - \Delta^2}} & \text{при } |\varepsilon| > \Delta, \\ 0 & \text{при } |\varepsilon| < \Delta, \end{cases} \quad (\text{II}, 7)$$

т. е. получаем идеальный диэлектрик с запрещенной зоной 2Δ . При конечном $\delta\Delta$ всегда $N(\varepsilon)/N_0 \neq 0$ при $|\varepsilon| < \Delta$.

Например, при $|\varepsilon| \rightarrow 0$ имеем

$$\frac{N(\varepsilon)}{N_0} \approx \frac{2}{\sqrt{\pi}} \frac{|\varepsilon|}{|\delta\Delta|} \cdot 1.68 \left\{ 1 - \operatorname{Erfc} \left(\frac{1}{2} \left| \frac{\Delta}{\delta\Delta} \right| \right) \right\}, \quad (\text{II}, 8)$$

где $\operatorname{Erfc} x = \frac{2}{\sqrt{\pi}} \int_0^x dx e^{-x^2}$. При $|\varepsilon| = \Delta$ получаем $N(|\varepsilon| = \Delta)/N_0 \approx \sqrt{\frac{\Delta}{|\delta\Delta|}}$.

Таким образом, опять получаем плотность состояний с псевдоцелью. Естественно, что при $|\delta\Delta| \ll \Delta$ плотность состояний в запрещенной зоне мала. Однако при $T \leq T_c$ это, вообще говоря, не так. Мы видим, что флуктуации параметра порядка крайне существенны и в случае истинного фазового перехода. В окрестности перехода плотность состояний имеет псевдоцель как при $T \geq T_c$, так и при $T \leq T_c$. В этом смысле точка перехода вообще не выделена и не может быть определена по измерениям электронных характеристик системы. Флуктуации оказываются аналогичными по своему влиянию внутренней неупорядоченности системы, рассмотренной ранее в [18]: они подавляют истинный переход и «размывают» его влияние на электронные свойства.

Л и т е р а т у р а

- [1] I. F. Shchegolev. Phys. Stat. Sol., (a) **12**, 9, 1972.
- [2] H. R. Zeller. Festkörperprobleme, Bd. XIII, 31, 1973.
- [3] P. Пайерлс. Квантовая теория твердых тел. ИЛ, М., 1956.
- [4] R. Comes, M. Lambert, H. R. Zeller. Phys. Stat. Sol. (b), **58**, 587, 1973.
- [5] R. Comes, M. Lambert, H. Launois, H. R. Zeller. Phys. Rev. B8, 571, 1973.
- [6] B. Renker, H. Rietschel, L. Pintschoffius, W. Gläser, P. Brüesch, D. Kuse, M. J. Rice. Phys. Rev. Lett. **30**, 1144, 1973.
- [7] L. B. Coleman, M. J. Cohen, D. J. Sandman, F. G. Yamagishi, A. F. Garito, A. J. Heeger. Sol. St. Comm., **12**, 1125, 1973.
- [8] H. Fröhlich. Proc. Roy. Soc., **A223**, 296, 1954.
- [9] C. G. Kuper. Proc. Roy. Soc., **A227**, 214, 1955.
- [10] M. J. Rice, S. Strässler. Sol. St. Comm. **13**, 125, 1973.
- [11] P. C. Hohenberg. Phys. Rev., **158**, 383, 1967.
- [12] P. A. Lee, T. M. Rice, P. W. Anderson. Phys. Rev. Lett., **31**, 462, 1973.
- [13] D. J. Scalapino, M. Sears, R. Ferrell. Phys. Rev., **B6**, 3409, 1972.
- [14] M. J. Rice, S. Strässler. Sol. St. Comm., **13**, 1389, 1973.
- [15] D. Allender, J. Bray, J. Bardeen. Phys. Rev., **B9**, 119, 1974.
- [16] S. F. Edwards. Phil. Mag., **6**, 617, 1961.
- [17] М. В. Садовский. ЖЭТФ, **66**, 1720, 1974.
- [18] Л. Н. Булаевский, М. В. Садовский. ФТТ **16**, 1159, 1974.

Примечание при корректуре. В недавней работе (D. B. Tappert. Phys. Rev. Lett., **32**, 1303, 1974) приводятся экспериментальные данные по инфракрасному поглощению в TTF=TCNQ при 65 и 320°K , имеющие качественно вид, аналогичный рис. 2, б, причем $\operatorname{Re}\sigma(\omega=2|\Delta|) \simeq 5 \cdot 10^2 \div 10^3 \text{ om}^{-1} \cdot \text{cm}^{-1}$. Экстраполируя (25) к $\omega=2|\Delta|$ и используя экспериментальные значения $2|\Delta|=0.14$ эв, $\omega_p=1.2$ эв, получим $\operatorname{Re}\sigma(\omega=2|\Delta|) \simeq 8 \cdot 10^2 \text{ om}^{-1} \cdot \text{cm}^{-1}$.

Физический институт
им. П. Н. Лебедева АН СССР
Москва

Поступило в Редакцию
26 февраля 1974 г.